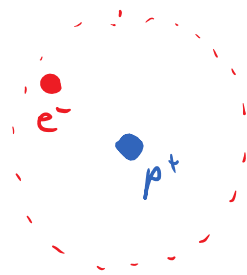


# Das H-Atom im Magnetfeld

Monday, October 22, 2018 5:01 PM



$$^1\text{H} : 1 \times p^+ + 1 \times e^-$$

$$I = \frac{1}{2} \quad L = 0; \quad S = \frac{1}{2}$$

$$\downarrow \quad \quad \quad \downarrow$$

$$m_I = \pm \frac{1}{2} \quad m_S = \pm \frac{1}{2}$$

$$\Phi = \vec{\gamma} \cdot \vec{X}$$

Orts- Spin- Wellenfunktion

4 mögliche magnetische Eigenzustände:  $|m_s, m_I\rangle$ -Basis

$$\Rightarrow |+\frac{1}{2}, +\frac{1}{2}\rangle, |+\frac{1}{2}, -\frac{1}{2}\rangle, |-\frac{1}{2}, +\frac{1}{2}\rangle, |-\frac{1}{2}, -\frac{1}{2}\rangle$$

$$|\alpha\alpha\rangle, \quad |\alpha\beta\rangle, \quad |\beta\alpha\rangle, \quad |\beta\beta\rangle$$

$$|++\rangle, \quad |+-\rangle, \quad |-+\rangle, \quad |--\rangle$$

$$|1\rangle, \quad |2\rangle, \quad |3\rangle, \quad |4\rangle$$

Zeeman-Wechselwirkung  $E(m_j) = -\hbar \gamma m_j B_0$  ( $j = S, I$ )

$\Rightarrow$  Zeeman-Aufspaltung

$$\Delta E = \hbar \gamma B_0$$

$\gamma$ : gyromagnetisches Verhältnis

$$\gamma = g \cdot \frac{q}{2m}$$

$$\Rightarrow \gamma_s = g_e \cdot \frac{-e}{2m_e} = -\frac{g_e \cdot \mu_B}{\hbar}$$

$$\gamma_H = g_n \cdot \frac{e}{2m_p} = \frac{g_n \cdot \mu_n}{\hbar}$$

$$\gamma_s = -2\pi \cdot 28.0 \text{ GHz T}^{-1} \rightarrow \frac{\gamma_s}{\gamma_H} = 659 !$$

$$\gamma_H = 2\pi \cdot 42.6 \text{ MHz T}^{-1}$$

$$\mu_B = \frac{e\hbar}{2m_e} = 9.274 \cdot 10^{-24} \text{ J T}^{-1}$$

Bohrsches Magneton

$$g_e = 2.0023 \dots$$

g-Wert des freien Elektrons

$$g_n = 5,586$$

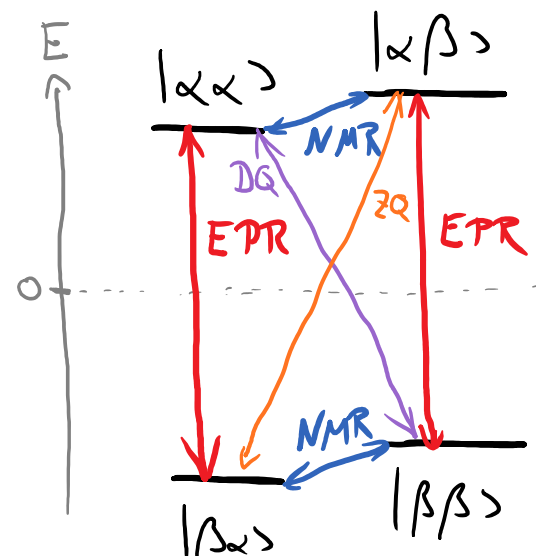
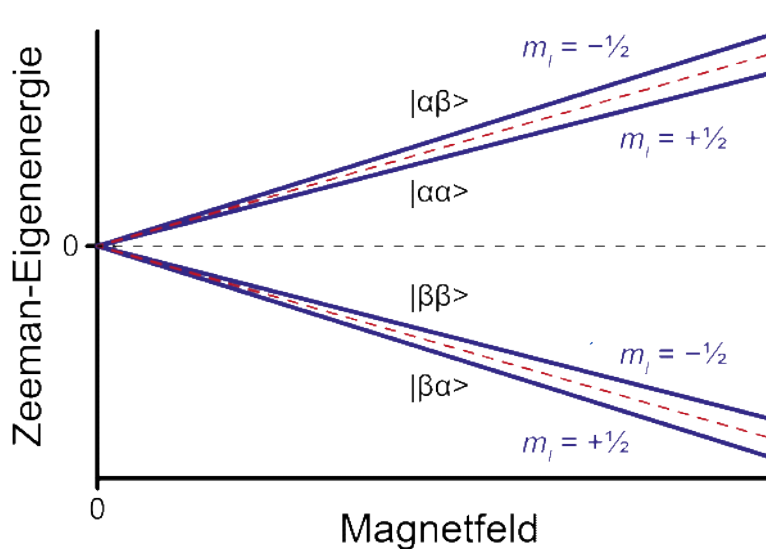
Kern-g-Faktor

$$\mu_n = \frac{e\hbar}{2m_p} = 5.051 \cdot 10^{-27} \text{ J T}^{-1}$$

Kern-Magneton

# Zeeman-Aufspaltung und Resonanzbedingung

Tuesday, October 23, 2018 10:33 AM



→ Wieviele Spin-Übergänge sind möglich und bei welcher Resonanzbedingung?

Insgesamt  $\binom{4}{2}$  Kombinationen → 6 "theoretische" Übergänge

Auswahlregeln:

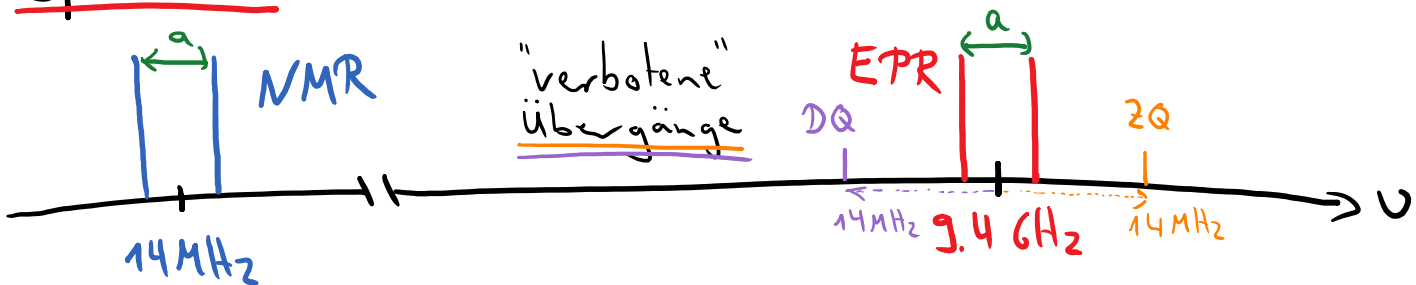
EPR :  $\Delta m_s = \pm 1$     $\Delta m_I = 0$

NMR :  $\Delta m_s = 0$     $\Delta m_I = \pm 1$

DQ :  $\Delta m_s = \pm 1$     $\Delta m_I = \pm 1$   
Double Quantum

ZQ :  $\Delta m_s = \pm 1$     $\Delta m_I = \mp 1$   
Zero Quantum

Spektrum:



Hyperfein-Wechselwirkung :  $E_{HFI} = a \cdot m_s \cdot m_I$   
→ Lokales Magnetfeld der Spins

# QM-Hintergrund

Monday, October 22, 2018 5:18 PM

$$\text{Spin-Operator-Vektor} \quad \vec{\hat{S}} = \begin{pmatrix} \hat{S}_x \\ \hat{S}_y \\ \hat{S}_z \end{pmatrix}$$

Kommutations-eigenschaften:

$$[\hat{S}_x, \hat{S}_y] = i\hbar \hat{S}_z; \quad [\hat{S}_y, \hat{S}_z] = i\hbar \hat{S}_x; \quad [\hat{S}_z, \hat{S}_x] = i\hbar \hat{S}_y$$

$\Rightarrow S_x, S_y, S_z$  : komplementäre Observable!

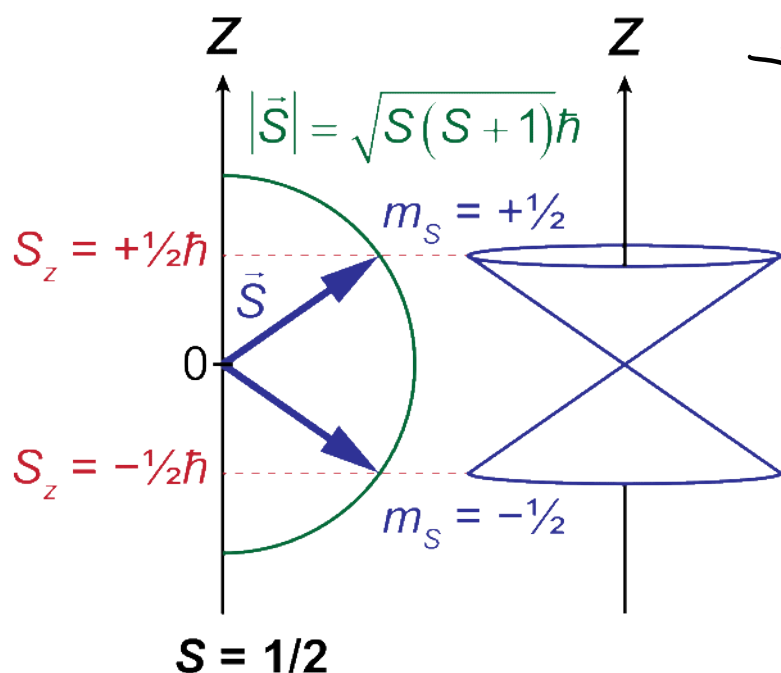
Heisenburgsche Unschärferelation

$S_z$  bestimmt  $\rightarrow S_x, S_y$  unbestimmt!

$$\hat{S}_z \chi_e = m_s \hbar \chi_e$$

$$\hat{S}_z |\alpha\rangle = +\frac{1}{2}\hbar |\alpha\rangle$$

$$\hat{S}_z |\beta\rangle = -\frac{1}{2}\hbar |\beta\rangle$$



$\rightarrow \chi_e$  keine Eigenfunktion zu  $\hat{S}_x, \hat{S}_y$

aber:

$$\hat{S}^2 \chi_e = S(S+1) \hbar^2 \chi_e$$

$\rightarrow \chi_e$  ist Eigenfunktion zu  $\hat{S}^2 = \hat{S}_x^2 + \hat{S}_y^2 + \hat{S}_z^2$

$$\hat{S}^2 = \hat{S}_x^2 + \hat{S}_y^2 + \hat{S}_z^2$$

Erwartungswerte:  $\langle S_z \rangle = m_s \hbar \rightarrow S_z = m_s \hbar$

$$\langle \hat{S}^2 \rangle = S(S+1) \hbar^2 \rightarrow |\vec{S}| = \sqrt{S(S+1)} \hbar$$

# Spin-Vektoren und Operator-Matrizen

Monday, October 22, 2018 6:18 PM

Spin  $\leftrightarrow$  magn. Moment:  $\vec{\mu} = g \cdot \frac{q}{2m} \cdot \vec{S}$   $\vec{\mu} = \begin{pmatrix} M_x \\ M_y \\ M_z \end{pmatrix}$

$$\vec{\mu} = -\frac{\mu_B}{\hbar} \cdot g \cdot \vec{S}$$

$$E = -\vec{\mu} \cdot \vec{B} \rightarrow \text{Zeeman-Effekt}$$

$$|\vec{\mu}| = \mu_B \cdot g \cdot \sqrt{S(S+1)}$$

$$M_z = -\mu_B \cdot g \cdot m_S$$

deBroglie/Schrödinger

$$\hat{H}\Psi = E\Psi$$

operator/Wellefunktion  
Wellenmechanik

Born/Heisenberg

$$\hat{H}\vec{\Psi} = E\vec{\Psi}$$

Matrix/Zustandsvektor  
Matrixmechanik

## Pauli-Matrizen

$$\sigma_x = \begin{pmatrix} 0 & 1 \\ 1 & 0 \end{pmatrix} \quad \sigma_y = \begin{pmatrix} 0 & -i \\ i & 0 \end{pmatrix} \quad \sigma_z = \begin{pmatrix} 1 & 0 \\ 0 & -1 \end{pmatrix}$$

## Spin-Matrizen

$$\hat{S}_x = \frac{\hbar}{2} \sigma_x \quad \hat{S}_y = \frac{\hbar}{2} \sigma_y \quad \hat{S}_z = \frac{\hbar}{2} \sigma_z$$

## Spin-Zustandsvektoren

$$|\alpha\rangle = \begin{pmatrix} 1 \\ 0 \end{pmatrix} \quad |\beta\rangle = \begin{pmatrix} 0 \\ 1 \end{pmatrix}$$

# Spin-Messungen

Monday, October 22, 2018 6:59 PM

$$\hat{S}_x |\alpha\rangle = \frac{\hbar}{2} \begin{pmatrix} 0 & 1 \\ 1 & 0 \end{pmatrix} \cdot \begin{pmatrix} 1 \\ 0 \end{pmatrix} = \frac{\hbar}{2} \cdot \begin{pmatrix} 0 \\ 1 \end{pmatrix} \neq C \cdot |\alpha\rangle \quad \text{koin Eigenzustand}$$

$$\hat{S}_z |\alpha\rangle = \frac{\hbar}{2} \begin{pmatrix} 1 & 0 \\ 0 & -1 \end{pmatrix} \cdot \begin{pmatrix} 1 \\ 0 \end{pmatrix} = \frac{\hbar}{2} \cdot \begin{pmatrix} 1 \\ 0 \end{pmatrix} = \frac{\hbar}{2} |\alpha\rangle \quad \text{Eigenzustand!}$$

↪  $\hat{S}_z$  misst Ausrichtung des Spins entlang Magnetfeld  
 ⇒ Polarisation

Erwartungswerte (von Zeeman-Eigenzuständen)

$$\langle S_z \rangle_\alpha = \langle \alpha | \hat{S}_z | \alpha \rangle = (1, 0) \cdot \frac{\hbar}{2} \cdot \begin{pmatrix} 1 \\ 0 \end{pmatrix} = +\frac{\hbar}{2} \quad \langle S_z \rangle_\beta = -\frac{\hbar}{2}$$

$$\langle S_x \rangle_\alpha = \langle \alpha | \hat{S}_x | \alpha \rangle = (1, 0) \cdot \frac{\hbar}{2} \cdot \begin{pmatrix} 0 \\ 1 \end{pmatrix} = 0 \quad \langle S_x \rangle_\beta = 0$$

Im Ensemble (therm. GGW):  $\langle S_z \rangle / \hbar = P_S = \frac{n_\beta - n_\alpha}{n_\beta + n_\alpha} = \tanh \left( \frac{\hbar v B_0}{2 k_B T} \right)$   
 Spin-Polarisation

Was kann durch  $\hat{S}_x$  gemessen werden?

$$X_x = \frac{1}{\sqrt{2}} (| \alpha \rangle + | \beta \rangle) = \frac{\hbar}{2} \cdot \frac{1}{\sqrt{2}} \begin{pmatrix} 1 \\ 1 \end{pmatrix} \quad \text{Superposition}$$

$$\hat{S}_x | X_x \rangle = \begin{pmatrix} 0 & 1 \\ 1 & 0 \end{pmatrix} \cdot \frac{\hbar}{2} \cdot \frac{1}{\sqrt{2}} \begin{pmatrix} 1 \\ 1 \end{pmatrix} = \frac{\hbar}{2\sqrt{2}} \begin{pmatrix} 1 \\ 1 \end{pmatrix} = \frac{\hbar}{2} X_x \quad \text{Eigenfunktion!}$$

$$\langle S_x \rangle_x = \langle X_x | \hat{S}_x | X_x \rangle = \frac{1}{\sqrt{2}} (1, 1) \cdot \frac{\hbar}{2\sqrt{2}} \begin{pmatrix} 1 \\ 1 \end{pmatrix} = \frac{\hbar}{2 \cdot 2} (1+1) = \frac{\hbar}{2}$$

↪  $\hat{S}_x$  (oder  $\hat{S}_y$ ) misst Überlagerung von Polarisationszuständen

→ Kohärenz

# Auf-/Absteigeoperatoren

Monday, October 22, 2018 7:26 PM

$$\hat{S}_+ = \hat{S}_x + i\hat{S}_y = \hbar \begin{pmatrix} 0 & 1 \\ 0 & 0 \end{pmatrix} = \frac{\hbar}{2} \left[ \begin{pmatrix} 0 & 1 \\ 1 & 0 \end{pmatrix} + i \begin{pmatrix} 0 & -i \\ i & 0 \end{pmatrix} \right]$$
$$\hat{S}_- = \hat{S}_x - i\hat{S}_y = \hbar \begin{pmatrix} 0 & 0 \\ 1 & 0 \end{pmatrix}$$

$$\hat{S}_+ |\alpha\rangle = \hbar \begin{pmatrix} 0 & 1 \\ 0 & 0 \end{pmatrix} \cdot \begin{pmatrix} 1 \\ 0 \end{pmatrix} = 0 \quad \hat{S}_+ |\beta\rangle = \hbar \begin{pmatrix} 0 & 1 \\ 0 & 0 \end{pmatrix} \begin{pmatrix} 0 \\ 1 \end{pmatrix} = \hbar \begin{pmatrix} 1 \\ 0 \end{pmatrix} = \hbar |\alpha\rangle$$

$$\hat{S}_- |\alpha\rangle = \hbar \begin{pmatrix} 0 & 0 \\ 1 & 0 \end{pmatrix} \cdot \begin{pmatrix} 1 \\ 0 \end{pmatrix} = \hbar \begin{pmatrix} 0 \\ 1 \end{pmatrix} = \hbar |\beta\rangle \quad \hat{S}_- |\beta\rangle = \hbar \begin{pmatrix} 0 & 0 \\ 1 & 0 \end{pmatrix} \begin{pmatrix} 0 \\ 1 \end{pmatrix} = 0$$

→  $\hat{S}_+$  erhöht  $m_s$ ,  $\hat{S}_-$  erniedrigt  $m_s - 1$ , wenn möglich!

Häufig:  $\hat{S}_x = \frac{1}{2} (\hat{S}_+ + \hat{S}_-)$